研究论文 DOI: 10.3724/SP.J.1123.2025.11008

基于超高效液相色谱-四极杆-飞行时间质谱的玉屏风颗粒化学成分及入血成分分析

卢文森[1]，肖观林[2]，邬旻珊[1]，吴佳滢[1]，刘 权[1]，胥爱丽[2*]
（1.广州中医药大学第五临床医学院，广东 广州 510405；2.广东省中医药工程技术研究院，广东省中医药研究开发重点实验室，广东 广州 510095）

摘要：玉屏风颗粒作为中医经典名方，在免疫调节方面具有广泛应用，然而其复杂的化学组成及体内发挥药效的具体物质基础尚未完全阐明，尤其在病理状态下的入血成分研究相对缺乏。本研究旨在系统鉴定玉屏风颗粒的化学物质组，并进一步探究其在免疫缺陷模型大鼠体内的入血成分，以揭示其潜在的药效物质，为深入阐释该制剂的作用机制提供科学依据。研究采用超高效液相色谱-四极杆-飞行时间质谱（UPLC-Q-TOF MS）技术对玉屏风颗粒的化学成分及免疫缺陷模型大鼠给药后的入血成分进行分析。制剂和血清样本经处理，采用 Waters CORTECS UPLC C_{18} 色谱柱（150 mm×2.1 mm，1.6 μm），以 0.1% 甲酸水溶液-乙腈为流动相梯度洗脱，流速 0.3 mL/min，柱温 35 ℃，进样量 3 μL，在电喷雾离子源正、负离子模式下采集数据后，通过与对照品保留时间、精确相对分子质量、二级碎片离子进行比对，并参照相关文献，完成化学成分的鉴定。从玉屏风颗粒中共鉴定出 52 种化学成分，包括 11 个黄酮类、13 个有机酸类、13 个苯丙素类、12 个萜类成分、3 个其他成分（醛类、核苷、氨基酸）。在此基础上，从给药大鼠的血清中鉴定出 11 个入血成分 。该研究在免疫缺陷病理模型条件下系统分析了玉屏风颗粒的入血成分，不仅明确了其体外化学物质基础，更进一步筛选出潜在的体内直接作用物质，为后续开展药效关联研究及作用机制探索提供了关键线索和依据

关键词：玉屏风颗粒；超高效液相色谱-四极杆-飞行时间质谱；化学成分；入血成分
中图分类号：O658 **文献标识码**：A

Analysis of chemical constituents and bioavailable components in Yupingfeng Granules using ultra performance liquid chromatography-quadrupole-time-of-flight mass spectrometry

LU Wensen[1], XIAO Guanlin[2], WU Minshan[1], WU Jiaying[1], LIU Quan[1], XU Aili[2*]
(*1. The School of the Fifth Clinical Medicine, Guangzhou University of Chinese Medicine, Guangzhou 510405, China; 2. Guangdong Province Engineering Technology Research Institute of Traditional Chinese Medicine, Guangdong Provincial Key Laboratory of Research and Development in Traditional Chinese Medicine, Guangzhou 510095, China*)

Abstract: Yupingfeng Granules, a classical and widely prescribed formula in traditional Chinese medicine, is extensively employed in clinical practice for its well-documented immunomodulatory and preventive activities. However, the highly complex chemical composition of this multi-herb formula and the specific material basis responsible for its therapeutic effects in vivo remain inadequately characterized and systematically elucidated. Research on its pharmacokinetically critical blood-entering components, which are indicative of systemic exposure and potential direct activity, particularly under representative pathological conditions, remains notably scarce and insufficient. This study therefore aims to systematically characterize the comprehensive chemical profile of Yupingfeng Granules by employing advanced analytical techniques such as HPLC-MS. Furthermore,

收稿日期：2025-11-19
* **通信联系人** Tel：020-83482098，E-mail：xal555@163.com.
基金项目：广东省基础与应用基础研究基金项目（2024A1515011249）.
Foundation item: Guangdong Province Basic and Applied Basic Research Fund Program (No. 2024A1515011249).

it seeks to comprehensively investigate and characterize its blood-entering components specifically in cyclophosphamide-induced immunodeficient rat models, comparing them with normal physiological conditions where applicable. The overarching objective is to identify, quantify, and shed light on the formula's potential active constituents that reach the systemic circulation. This work is expected to provide a more solid and detailed scientific basis for a deeper, molecular-level understanding of the pharmacodynamic mechanism of this important traditional Chinese medicine preparation and to inform its future rational clinical application and quality control. An ultra performance liquid chromatography-quadrupole-time-of-flight mass spectrometry (UPLC-Q-TOF MS) technology was used to identify the chemical composition of Yupingfeng Granules and the plasma-entering components after administration to immunodeficient model rats. The prepared granule and serum samples were analyzed using a Waters CORTECS UPLC C18 column (150 mm×2.1 mm, 1.6 μm) with gradient elution of 0.1% formic acid aqueous solution and acetonitrile as the mobile phases. The flow rate was set at 0.3 mL/min, the column temperature was maintained at 35 ℃, and the injection volume was 3 μL. Data were acquired in both positive and negative ion modes using an electrospray ionization source. The identification of chemical constituents was performed by comparing retention times, accurate relative molecular masses, and MS/MS fragment ions with those of reference standards, along with reference to relevant literature. Through a systematic analysis involving comparison of retention times, accurate molecular weights, and MS/MS fragment ions, combined with cross-referencing against relevant literature and authenticated reference standards, the chemical profile of Yupingfeng Granules and the bioactive components absorbed in vivo were comprehensively characterized. The investigation successfully identified a total of 52 chemical constituents in Yupingfeng Granules. Furthermore, 11 bioavailable components were detected in rat plasma after administration. These compounds encompass a diverse range of chemical classes, specifically including 11 flavonoids, 13 organic acids, 13 phenylpropanoids, 12 terpenoids, and 3 additional components categorized as aldehydes, nucleosides, and amino acids. This detailed identification provides a thorough overview of the chemical composition of the granules and elucidates the key constituents that are systemically absorbed. This study systematically analyzed the blood-entering components of Yupingfeng Granules under immunodeficient pathological conditions. This distinction is critically important, as the altered internal environment in a disease model may significantly influence the absorption, metabolism, and distribution of herbal compounds. The research not only clarifies the comprehensive chemical material basis of the formula in vitro by establishing a detailed chromatographic fingerprint but also, more significantly, bridges the gap to in vivo pharmacology by identifying which specific compounds from the complex mixture actually enter the systemic circulation. By correlating the in vitro chemical profile with the in vivo exposure data, the study effectively pinpoints a refined set of potential direct-acting substances that are most likely to contribute to the observed therapeutic effects. Consequently, these findings provide crucial experimental clues and a reliable analytical foundation for subsequent, more targeted research. This includes in-depth investigations into efficacy correlation—linking specific blood components to

引用本文:卢文森,肖观林,邬旻珊,吴佳滢,刘权,胥爱丽. 基于超高效液相色谱-四极杆-飞行时间质谱的玉屏风颗粒化学成分及入血成分分析. 色谱,2026,44(8):911-923.

LU Wensen, XIAO Guanlin, WU Minshan, WU Jiaying, LIU Quan, XU Aili. Analysis of chemical constituents and bioavailable components in Yupingfeng Granules using ultra performance liquid chromatography-quadrupole-time-of-flight mass spectrometry. Chinese Journal of Chromatography, 2026, 44(8): 911-923.

immunomodulatory activities—and the detailed exploration of its molecular mechanisms of action, thereby significantly advancing the scientific understanding of this classic formula.

Keywords: Yupingfeng Granules; ultra performance liquid chromatography-quadrupole-time-of-flight mass spectrometry (UPLC-Q-TOF MS); chemical constituents; bioavailable components

玉屏风颗粒由黄芪、炒白术、防风三味中药组成，源于元代朱丹溪《丹溪心法》，具有扶正固本、益气补中的功效，临床上广泛应用于机体免疫力的提高以及免疫功能失衡引起的反复感冒[1]、过敏性鼻炎[2]、哮喘[3]等疾病。尽管玉屏风颗粒的临床应用历史悠久，但其药效物质尚不完全明确。《中国药典》[4]收载的玉屏风颗粒质量标准仅控制了黄芪甲苷的含量，但中药具有多成分、多靶点的特点，单一成分难以全面体现中药复方配伍的科学性和临床价值，而在中药复方的众多成分当中，只有能够最终进入体内的成分才是潜在的药效成分，因此，研究复方在体内的入血成分，能够大大缩小有效成分的筛选范围，是明确药效物质基础的前提条件。

中药血清药物化学是通过现代分析技术，鉴定含药血清中的移行成分，以阐明中药的药效物质基础及其体内过程的一门学科[5]。该学科通过对比给药血清与体外成分的差异，识别入血的原型成分及代谢产物，进而确定真正起效的物质。目前文献大多研究的是正常机体状态下的入血成分，但药物在体内的吸收利用与机体状态密切相关，其在病理状态下往往与正常生理状态存在显著差异[6]，因此，采用疾病模型动物来研究药物在病理状态下的入血成分，更能有效揭示中药的药效物质基础[7]。

本研究采用超高效液相色谱-四极杆-飞行时间质谱（UPLC-Q-TOF MS）技术，在免疫缺陷模型大鼠中进行玉屏风颗粒的入血成分鉴定。更符合玉屏风颗粒临床用于“免疫功能失衡”相关疾病的实际应用背景，提高了研究结果的临床相关性与药效物质基础的可靠性，为该制剂的质控提升和临床应用奠定基础。

1 实验部分

1.1 仪器、试剂与材料

ExionLC AC 型液相色谱 X500R 质谱仪（美国 Sciex 公司）；Sorvall Legend Micro 17R 型微量离心机（美国 Thermo Scientific 公司）；XS205 型电子分析天平（瑞士 Mettler-Toledo 公司）。

玉屏风颗粒（批号：241102，国药集团广东环球制药有限公司）。绿原酸（批号：110753-202119，纯度 96.2%）、亥茅酚（批号：735-46-6）、黄芪甲苷（批号：84680-75-1）、黄芪皂苷Ⅲ（批号：H-036-160908）、异阿魏酸（批号：111698-201904）、水杨酸（批号：100106-202106）、壬二酸（批号：101067-200901）对照品购自中国食品药品检定研究院。夏佛塔苷（批号：RS07761120）、毛蕊异黄酮葡萄糖苷（批号：RS08821120）、白术内酯Ⅱ（批号：RS07061120）、白术内酯Ⅲ（批号：RS07081120）、染料木苷（批号：RS02431120）对照品购自上海诗丹德标准技术服务有限公司。异绿原酸 B（批号：RDD-Y 06911812012，纯度 98%）、隐绿原酸（批号：AF9080321，纯度 98%）、新绿原酸（批号：RDD-X01402112013，纯度 98%）、对羟基苯甲酸（批号：D-063-161216）、对羟基苯甲醛（批号：D-058-181216）、花椒毒素（批号：H-035-170323）对照品购自成都瑞芬思生物科技有限公司。异绿原酸 A（批号：RDD-Y06911812012，纯度 98%）对照品购自成都瑞芬思德丹生物科技有限公司。升麻素（批号：20120511）、升麻素苷（批号：101617）、5-*O*-甲基维斯阿米醇（批号：101662）、5-*O*-甲基维斯阿米醇苷（批号：YJ-100829）、芒柄花素（批号：100390）、白术内酯Ⅰ（批号：YJ0282）、亥茅酚苷（批号：103613）对照品购自江苏永健医药科技有限公司。未标明纯度的对照品纯度均大于 98%。实验用水为娃哈哈纯净水，甲醇、乙腈、甲酸均为质谱纯（美国 Fisher Chemical 公司），其余试剂均为分析纯。

SPF 级雄性 SD 大鼠 24 只，体质量 160~180 g，日龄 45~50 d，购自广东省医学实验动物中心。动物生产许可证号：SCXK（粤）2022-0002。实验前适应性喂养 1 周，自由饮水、饮食。饲养条件：温度 23~26 ℃，相对湿度 45%~55%，12 h/12 h 昼夜交替。本实验过程对动物处理均符合广东省第二中医院（广东省中医药工程技术研究院）实验动物伦理委员会相关规定（伦理批准编号：049382）。

1.2 对照品溶液的制备

分别精密称取各对照品适量，置于 10 mL 容量瓶中，加甲醇超声溶解并定容至刻度，制成各对照

品质量浓度均为 40 μg/mL 的混合对照品溶液，用 0.22 μm 微孔滤膜滤过，即得。

1.3 供试品溶液的制备

取玉屏风颗粒 1 g，置于 25 mL 量瓶中，加入 50% 乙醇水溶液定容至刻度，超声处理 30 min，4 ℃、12 000 r/min 离心 10 min，收集上清液，0.22 μm 微孔滤膜滤过，即得。

1.4 动物分组与造模

24 只 SPF 级雄性 SD 大鼠，随机均分成 3 组，分为空白对照组、模型组、给药组。空白组、模型组 6 只，给药组 12 只。适应性喂养 1 周后，参考文献[8,9]方法建立大鼠免疫缺陷模型，具体如下：除空白对照组外，其余各组于实验 1~7 d，按 40 mg/kg 腹腔注射环磷酰胺，首次加倍，隔日一次，连续 4 次，正常组腹腔注射等剂量的生理盐水。

1.5 给药与血样采集

实验前禁食 12 h，不禁水，给药组灌胃给予玉屏风颗粒提取物水液（5.4 g 生药/kg），空白组和模型组灌胃给予蒸馏水。末次给药后，于 0、5、30、60、90、120、180 min 眼眶取血各约 0.5 mL，静置 30 min，4 ℃、4 000 r/min 离心 15 min，取上清，−80 ℃保存。空白血清收集方式同含药血清。

1.6 血清样品的处理

取给药组各时间点的血清等比例混合，取其中 600 μL 加入预冷的甲醇 2.4 mL，涡旋混匀 30 s，−20 ℃放置 1 h，4 ℃、12 000 r/min 离心 15 min，取全部上清液至离心管内，氮气吹干，加入 150 μL 预冷的甲醇复溶，涡旋 30 s，4 ℃、12 000 r/min 离心 15 min，吸取上清液 90 μL 置于进样小瓶。

1.7 色谱和质谱条件

色谱柱：Waters CORTECS UPLC C_{18} 色谱柱（150 mm×2.1 mm，1.6 μm）；柱温：35 ℃；进样量：3 μL；流速：0.3 mL/min；流动相 A：0.1% 甲酸水溶液，流动相 B：乙腈。梯度洗脱程序：0~4 min，5%B~20%B；4~15 min，20%B~40%B；15~20 min，40%B~45%B；20~24 min，45%B~55%B；24~27 min，55%B~80%B；27~31 min，95%B；31~34 min，95%B；34~35 min，95%B~5%B；35~40 min，5%B。

电喷雾离子源（ESI）；正离子和负离子模式同时扫描；喷雾电压：5 500 V（ESI^+）/4 500 V（ESI^-），裂解电压：100 V（ESI^+）/80 V（ESI^-），毛细管电压：5 500 V（ESI^+）/4 500 V（ESI^-），碰撞能量：35 eV（ESI^+）/−35 eV（ESI^-），质量扫描范围：*m/z* 100~1 000，离子源温度：500 ℃，气帘气压力：0.24 MPa，雾化气与辅助气压力：0.37 MPa。

1.8 化学成分鉴定及入血成分确定

通过检索 CNKI、SciFinder、ChemicalBook、PubChem 及 TCMSP 等数据库，系统搜集与整合玉屏风颗粒所含的化学成分信息，并据此建立本地化合物数据库。利用 SCIEX OS 3.1.0 软件进行色谱峰的提取与匹配分析，设定质量偏差不超过 0.000 5%、同位素丰度偏差在 5% 以内、数据库匹配分数大于等于 9 的标准，将所得数据与数据库中化合物的准分子离子峰和碎片裂解模式进行比对，从而准确鉴定玉屏风颗粒及血清样品中的化学成分。将给药前（0 h）和给药后的血清谱图、玉屏风颗粒的谱图进行比较，扣除血清中的内源性成分，确定玉屏风颗粒的入血成分。

2 结果与讨论

2.1 玉屏风颗粒成分鉴定

在正、负离子模式下，获得玉屏风颗粒、空白血清和含药血清的总离子流色谱图，如图 1 所示。对供试品溶液的保留时间、质谱碎片等信息进行分析，确定玉屏风颗粒中存在的成分。在正、负离子模式下共鉴定出化学成分 52 个，包括 12 个黄酮类、13 个有机酸类、13 个苯丙素类、12 个萜类成分、3 个其他成分（醛类、核苷、氨基酸）。25 个成分经对照品比对，详见表 1。

表 1 玉屏风颗粒的化学成分鉴定结果

Table 1 Identification of the chemical components of Yupingfeng Granules

No.	t_R/min	Measured (*m/z*)	Theoretical (*m/z*)	Mass error/10^{-6}	Measured MS^2 (*m/z*)	Quasimolecular ion	Compound	Molecular formula	Compound classification	Origin plant
1	1.1877	133.0139	133.0142	−2.3	71.0133, 115.0031	$[M-H]^-$	malic acid	$C_4H_6O_5$	organic acids	H
2	1.2613	268.1040	268.1040	0	136.0613	$[M+H]^+$	adenosine	$C_{10}H_{13}N_5O_4$	nucleoside	H

表 1 （续）
Table 1 （Continued）

No.	t_R/min	Measured (m/z)	Theoretical (m/z)	Mass error/10^{-6}	Measured MS^2 (m/z)	Quasimolecular ion	Compound	Molecular formula	Compound classification	Origin plant
3	1.2632	191.0193	191.0197	−2.1	87.0082, 111.0079, 147.0283	$[M-H]^-$	citric acid	$C_6H_8O_7$	organic acids	H
4	2.3009	191.0559	191.0561	−1.0	72.9926, 101.0604, 129.0561	$[M-H]^-$	quinic acid	$C_7H_{12}O_6$	organic acids	H
5	2.3233	164.0717	164.0717	0	103.0546, 147.0444	$[M-H]^-$	phenylalanine	$C_9H_{11}NO_2$	amino acids	H
6	3.0859	353.0877	353.0878	−0.2	135.0451, 179.0347, 191.0561	$[M-H]^-$	neochlorogenic acid*	$C_{16}H_{18}O_9$	phenylpropanoids	F
7	3.7984	137.0242	137.0244	−1.8	65.0397, 92.0255,	$[M-H]^-$	4-hydroxybenzoic acid *	$C_7H_6O_3$	organic acids	F
8	3.8730	353.0879	353.0878	0.4	111.0458, 173.0455, 233.0471	$[M+H]^-$	chlorogenic acid*	$C_{16}H_{18}O_9$	phenylpropanoids	F
9	4.0581	353.0879	353.0878	0.4	93.0343, 135.0446, 173.0445	$[M-H]^-$	cryptochlorogenic acid *	$C_{16}H_{18}O_9$	phenylpropanoids	F
10	4.9179	121.0294	121.0295	−0.9	65.0384, 92.0262, 121.0295	$[M-H]^-$	4-hydroxybenzaldehyde *	$C_7H_6O_2$	aldehydes	F
11	5.0602	461.1100	461.1089	2.3	135.0088, 284.0329, 299.0564	$[M-H]^-$	calycosin-7-*O*-*β*-D-glucopyranoside	$C_{22}H_{22}O_{11}$	flavonoids	H
12	5.1408	565.1556	565.1552	0.8	349.0695, 379.0826, 409.0933	$[M+H]^+$	schaftoside*	$C_{26}H_{28}O_{14}$	flavonoids	H
13	5.3432	469.1684	469.1704	−4.3	189.0550, 261.1117, 290.1146, 307.1161	$[M+H]^+$	cimicifugoside*	$C_{22}H_{28}O_{11}$	phenylpropanoids	F
14	5.5692	163.0400	163.0401	−0.7	93.0346, 119.0499	$[M-H]^-$	*cis*-4-coumaric acid	$C_9H_8O_3$	organic acids	F
15	5.9047	447.1276	447.1286	−2.2	137.0238, 253.0500, 270.2520, 285.0744	$[M+HCOO]^+$	calycosin-7-*O*-*β*-D-glucoside*	$C_{22}H_{22}O_{10}$	flavonoids	H
16	6.1349	193.0506	193.0506	0	134.0294, 149.0644, 178.0284	$[M-H]^-$	ferulic acid*	$C_{10}H_{10}O_4$	organic acids	F
17	6.3221	193.0506	193.0506	0	134.0373	$[M-H]^-$	isoferulic acid*	$C_{10}H_{10}O_4$	organic acids	F
18	6.4586	307.1163	307.1176	−4.4	207.0657, 235.0451, 259.0597, 289.1072	$[M+H]^+$	cimifugin*	$C_{16}H_{18}O_6$	phenylpropanoids	F
19	6.6573	515.1204	515.1195	1.8	173.0448, 353.0913	$[M-H]^-$	isochlorogenic acid B*	$C_{25}H_{24}O_{12}$	phenylpropanoids	F
20	6.9108	515.1212	515.1195	3.4	173.0448, 353.0913	$[M-H]^-$	isochlorogenic acid A*	$C_{25}H_{24}O_{12}$	phenylpropanoids	F

表 1 （续）
Table 1 （Continued）

No.	t_R/min	Measured (m/z)	Theoretical (m/z)	Mass error/10^{-6}	Measured MS^2 (m/z)	Quasimolecular ion	Compound	Molecular formula	Compound classification	Origin plant
21	6.9616	453.1736	453.1755	−4.3	231.0645, 273.1110, 291.1213	[M+H]$^+$	5-*O*-methylvisammioside*	$C_{22}H_{28}O_{10}$	phenylpropanoids	F
22	7.4752	515.1203	515.1195	1.6	173.0458, 353.0884	[M−H]$^-$	isochlorogenic acid C*	$C_{25}H_{24}O_{12}$	phenylpropanoids	F
23	7.5913	187.0969	187.0976	−3.5	69.0351, 97.0656, 125.0965, 143.1081, 169.0861	[M−H]$^-$	azelaic acid*	$C_9H_{16}O_4$	organic acids	B
24	7.7207	137.0242	137.0244	−1.3	65.0392, 93.0340	[M−H]$^-$	salicylic acid*	$C_7H_6O_3$	organic acids	F
25	8.7877	431.1330	431.1337	−1.5	269.0797	[M+H]$^+$	ononin*	$C_{22}H_{22}O_9$	flavonoids	H
		429.1239	429.1246	−1.3	252.0431, 267.0652	[M−H]$^-$		$C_{22}H_{22}O_9$		
26	9.1671	253.0508	253.0506	0.8	133.0307	[M−H]−	daidzein*	$C_{15}H_{10}O_4$	flavonoids	H
27	9.4936	291.1221	291.1227	−2.0	191.0709, 205.0501, 243.0654	[M+H]$^+$	5-*O*-methylvisamminol*	$C_{16}H_{18}O_5$	phenylpropanoids	F
28	9.7565	301.1070	301.1071	−0.3	106.0420, 152.0477, 167.0708	[M+H]$^+$	methylnissolin	$C_{17}H_{16}O_5$	flavonoids	H
		299.0929	299.0925	1.3	95.0128, 213.0557, 284.0695, 269.0460	[M−H]$^-$		$C_{17}H_{16}O_5$		
29	10.1593	285.0751	285.0757	−2.4	137.0237, 213.0548, 270.0521	[M+H]$^+$	calycosin	$C_{16}H_{12}O_5$	flavonoids	H
		283.0605	283.0612	−2.4	135.0081, 211.0398	[M−H]$^-$		$C_{16}H_{12}O_5$		
30	10.2598	439.1597	439.1599	−0.3	217.0502, 259.0969, 277.1067	[M+H]$^+$	*sec*-*O*-glucosylhamaudol*	$C_{21}H_{26}O_{10}$	phenylpropanoids	F
		437.1453	437.1453	1.4	89.0254, 152.9924, 257.0849	[M−H]$^-$		$C_{21}H_{26}O_{10}$		
31	10.2659	463.1611	463.1610	0.3	286.0857, 303.1086	[M−H]$^-$	isomucronulatol 7-*O*-β-glucoside	$C_{23}H_{28}O_{10}$	flavonoids	H
32	11.9498	965.4222	965.4235	−1.4	803.3681	[M−H]$^-$	rebaudioside A	$C_{44}H_{70}O_{23}$	terpenoids	H
33	12.4319	217.0495	217.0495	0	146.0372, 174.0313	[M+H]$^+$	xanthotoxin*	$C_{12}H_8O_4$	phenylpropanoids	F
34	12.5297	970.5073	970.5108	−3.6	970.5073	[M+Na]$^+$	astragaloside Ⅶ	$C_{47}H_{78}O_{19}$	terpenoids	H
		991.5142	991.5119	2.3	945.5112	[M+HCOO]$^-$		$C_{47}H_{78}O_{19}$		
35	13.8331	275.0928	275.0925	1.1	275.0928	[M−H]$^-$	hamaudol*	$C_{15}H_{16}O_5$	phenylpropanoids	F
		277.1071	277.1071	0	205.0500, 259.0965	[M+H]$^+$		$C_{15}H_{16}O_5$		
36	14.0854	255.0666	255.0663	1.1	91.0195, 119.0500, 135.0099	[M−H]$^-$	isoliquiritigenin	$C_{15}H_{12}O_4$	flavonoids	H

表 1 （续）
Table 1 （Continued）

No.	t_R/min	Measured (m/z)	Theoretical (m/z)	Mass error/10^{-6}	Measured MS^2 (m/z)	Quasimolecular ion	Compound	Molecular formula	Compound classification	Origin plant
37	14.6109	267.0658	267.0663	−1.7	195.0454, 223.0403, 252.0420	$[M-H]^-$	formononetin*	$C_{16}H_{12}O_4$	flavonoids	H
		269.0805	269.0808	−1.3	181.0653, 197.0601, 253.0499	$[M+H]^+$		$C_{16}H_{12}O_4$		
38	15.1842	299.0915	299.0914	0.5	211.0764, 256.0747, 284.0690, 299.0922	$[M+H]^+$	5-hydroxy-7,8-dimethoxyflavone	$C_{17}H_{14}O_5$	flavonoids	H
39	15.4438	808.4538	808.4580	−5.2	808.4512	$[M+Na]^+$	astragaloside A*	$C_{41}H_{68}O_{14}$	terpenoids	H
		829.4583	829.4591	−1.0	783.4541	$[M+HCOO]^-$		$C_{41}H_{68}O_{14}$		
40	15.4438	808.4544	808.4580	−4.4	808.4544	$[M+Na]^+$	astragaloside Ⅲ*	$C_{41}H_{68}O_{14}$	terpenoids	H
		829.4583	829.4591	−1.0	783.4541	$[M+HCOO]^-$		$C_{41}H_{68}O_{14}$		
41	17.2110	850.4665	850.4685	−4.7	850.4665	$[M+Na]^+$	astragaloside Ⅱ*	$C_{43}H_{70}O_{15}$	terpenoids	H
		871.4692	871.4697	−0.6	765.4470, 825.4681	$[M+HCOO]^-$		$C_{43}H_{70}O_{15}$		
42	17.9040	941.5117	941.5115	0.2	941.5142	$[M-H]^-$	soyasaponin Bb	$C_{48}H_{78}O_{18}$	terpenoids	H
43	19.3730	249.1485	249.1485	0	203.1441, 231.1386	$[M+H]^+$	atractylenolide Ⅲ*	$C_{15}H_{20}O_3$	terpenoids	B
44	21.3641	892.4748	892.4791	−4.8	892.4748	$[M+Na]^+$	astragaloside Ⅰ*	$C_{45}H_{72}O_{16}$	terpenoids	H
		913.4800	913.4802	−0.3	867.4799	$[M+HCOO]^-$		$C_{45}H_{72}O_{16}$		
45	24.6322	233.1536	233.1536	0	91.0551, 105.0703, 131.0861	$[M+H]^+$	atractylenolide Ⅱ*	$C_{15}H_{20}O_2$	terpenoids	B
46	26.2772	934.4858	934.4896	−4.1	934.4858	$[M+Na]^+$	acetytastragaloside	$C_{47}H_{74}O_{17}$	terpenoids	H
		955.4921	955.4908	1.3	955.4958	$[M+HCOO]^-$		$C_{47}H_{74}O_{17}$		
47	27.0786	231.1381	231.1380	0.6	55.0540, 94.0654, 149.0895	$[M+H]^+$	atractylenolide Ⅰ*	$C_{15}H_{18}O_2$	terpenoids	B
48	29.4004	297.2414	297.2424	−3.5	297.2414	$[M-H]^-$	13(*R*)-hydroxy-9Z, 11E-octadecadienoic acid	$C_{18}H_{32}O_3$	organic acids	B
49	29.7256	277.2171	277.2173	−0.6	59.0130, 120.0210	$[M-H]^-$	linolenic acid	$C_{18}H_{30}O_2$	organic acids	B
		279.2319	279.2319	0	67.0544, 81.0701	$[M+H]^+$		$C_{18}H_{30}O_2$		
50	30.7576	279.2324	279.2330	−1.8	59.0138, 261.2232	$[M-H]^-$	linoleic acid	$C_{18}H_{32}O_2$	organic acids	B
		281.2476	281.2475	0.4	55.0544, 69.0701, 95.0859	$[M+H]^+$		$C_{18}H_{32}O_2$		
51	31.9920	281.2488	281.2486	0.7	165.1281	$[M-H]^-$	oleic acid	$C_{18}H_{34}O_2$	organic acids	B
52	32.5003	291.1743	219.1743	0	291.1743	$[M+H]^+$	Selina-4(15),7(11)-dien-8-one	$C_{15}H_{22}O$	terpenoids	B

* Confirmed by standard substance; H: *Astragalus membranaceus* (Fisch.) Bunge.; B: *Atractylodes macrocephala* Koidz.; F: *Saposhnikovia divaricata* (Turcz.) Schischk.

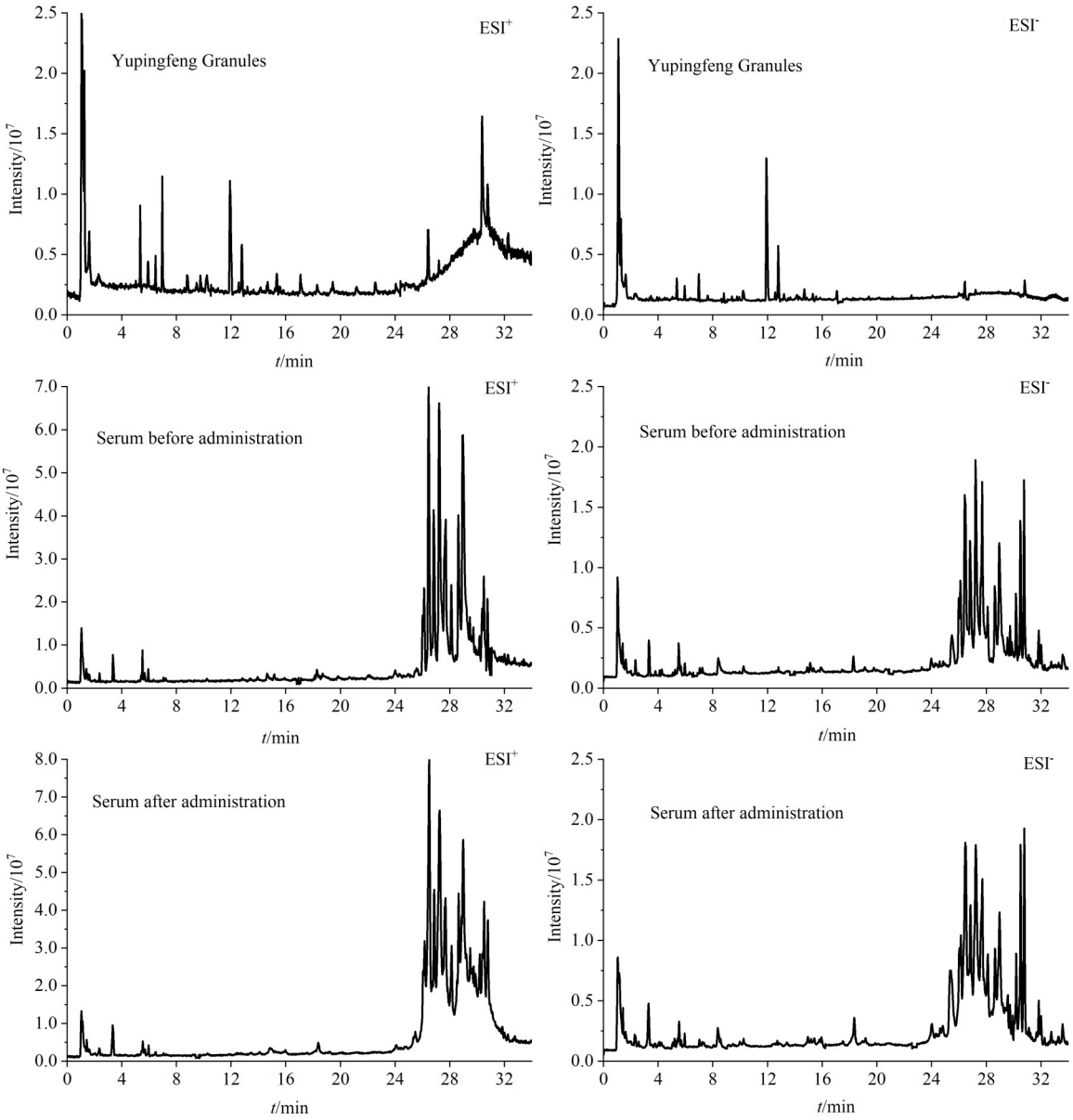


图 1　玉屏风颗粒和给药前、后血清样品在正、负离子模式下的总离子流色谱图

Fig. 1　Total ion chromatograms of Yupingfeng Granules and serum samples before and after administration in positive and negative ion modes

2.2　玉屏风颗粒入血成分鉴定

将给药前、后血清谱图和玉屏风颗粒的谱图进行比较，并扣除血清中的内源性成分。分析发现血清中含有 11 个成分。包括黄酮类成分 3 个、苯丙素类 5 个、有机酸类 1 个、萜类 2 个，其中 9 个成分经对照品比对，详见表2。入血成分中以黄酮类和苯丙素类为主，6 个来源于防风，5 个来源于黄芪。入血成分鉴定数量相对较少且并无来自白术的入血成分，推测其原因可能是部分成分口服生物利用度低，在胃肠道被水解或菌群代谢，在肝脏发生首过效应等，导致浓度极低，未能达到检出限。入血成分中，升麻素、升麻素苷、5-*O*-甲基维斯阿米醇、5-*O*-甲基维斯阿米醇苷均为防风特征苯丙素类成分，文献[10]证实其具有显著的抗炎、镇痛、解热及抗过敏活性，这直接印证了防风在方中“祛风解表”的传统功效，可能是玉屏风颗粒用于治疗表虚自汗、易感风邪等证的关键物质之一。芒柄花素、黄芪甲苷，则是黄芪的标志性黄酮及皂苷类成分。文献[11]表明，这些成分具有强大的免疫调节、抗炎、抗氧化及增强机体屏障功能的作用，这与黄芪“益气固表”的核心功效高度契合，为玉屏风颗粒提升机体免疫力、巩固肌表提供了科学依据。

表 2　玉屏风颗粒的入血成分鉴定结果

Table 2　Identification of the blood-entering components of Yupingfeng Granules

No.	t_R/min	Measured (*m/z*)	Theoretical (*m/z*)	Mass error/10^{-6}	Measured MS (*m/z*)	Quasimolecular ion	Compound	Molecular formula	Compound classification	Origion plant
1	5.3432	469.1684	469.1704	−4.3	189.0550, 261.1117, 290.1146, 307.1161	$[M+H]^+$	cimicifugoside*	$C_{22}H_{28}O_{11}$	phenylpropanoids	F
2	6.4586	307.1163	307.1176	−4.4	207.0657, 235.0451, 259.0597, 289.1072	$[M+H]^+$	cimifugin*	$C_{16}H_{18}O_6$	phenylpropanoids	F
3	6.9616	453.1736	453.1755	−4.3	231.0645, 273.1110, 291.1213	$[M+H]^+$	5-*O*-methylvisammioside*	$C_{22}H_{28}O_{10}$	phenylpropanoids	F
4	7.7207	137.0242	137.0244	−1.3	65.0392, 93.0340	$[M-H]^-$	salicylic acid*	$C_7H_6O_3$	organic acids	F
5	9.1671	253.0508	253.0506	0.8	133.0307	$[M-H]^-$	daidzein*	$C_{15}H_{10}O_4$	flavonoids	H
6	9.4936	291.1221	291.1227	−2.0	191.0709, 205.0501, 243.0654	$[M+H]^+$	5-*O*-methylvisamminol*	$C_{16}H_{18}O_5$	phenylpropanoids	F
7	9.7565	301.1070	301.1071	−0.3	106.0420, 152.0477, 167.0708	$[M+H]^+$	methylnissolin	$C_{17}H_{16}O_5$	flavonoids	H
		299.0929	299.0925	1.3	95.0128, 213.0557, 284.0695, 269.0460	$[M-H]^-$		$C_{17}H_{16}O_5$		
8	11.9498	965.4222	965.4235	−1.4	803.3681	$[M-H]^-$	rebaudioside A	$C_{44}H_{70}O_{23}$	terpenoids	H
9	13.8331	275.0928	275.0925	1.1	275.0928	$[M-H]^-$	hamaudol*	$C_{15}H_{16}O_5$	phenylpropanoids	F
		277.1071	277.1071	0	205.0500, 259.0965	$[M+H]^+$		$C_{15}H_{16}O_5$		
10	14.6109	267.0658	267.0663	−1.7	195.0454, 223.0403, 252.0420	$[M-H]^-$	formononetin*	$C_{16}H_{12}O_4$	flavonoids	H
		269.0805	269.0808	−1.3	181.0653, 197.0601, 253.0499	$[M+H]^+$		$C_{16}H_{12}O_4$		
11	15.4438	808.4538	808.4580	−5.2	808.4512	$[M+Na]^+$	astragaloside A*	$C_{41}H_{68}O_{14}$	terpenoids	H
		829.4583	829.4591	−1.0	783.4541	$[M+HCOO]^-$		$C_{41}H_{68}O_{14}$		

2.3　玉屏风颗粒成分质谱解析

2.3.1　黄酮类化合物质谱解析

黄酮类化合物的基本结构为 2-苯基色原酮，其分子中普遍具有 C_6-C_3-C_6 的骨架类型，该类成分在自然界中既有以游离状态存在的，也常见与糖类结合成苷。在质谱分析中，主要的裂解方式为 C 环发生逆狄尔斯-阿德尔反应（RDA）裂解、糖苷键断裂、脱去中性碎片、脱水等碎片离子[12]。表 1 中化合物 15 在正离子模式下检测到准分子离子峰为 *m/z* 447.127 6 $[M+H]^+$，推断其分子式为 $C_{22}H_{22}O_{10}$，二级质谱中主要的碎片离子如下：准分子离子脱去一分子葡萄糖后，生成 *m/z* 285.074 4 的 $[M+H-Glu]^+$，该离子进一步失去 CH_3，产生 *m/z* 270.252 0 的 $[M+H-Glu-CH_3]^+$。此外，通过 RDA 裂解得到碎片离子 *m/z* 137.023 8，与文献[13]及对照品对比，推断该化合物为毛蕊异黄酮葡萄糖苷。可能的质谱裂解途径见图 2a。表 1 中化合物 25 在负离子模式下的检测到准分子离子峰为 *m/z* 429.123 9 $[M-H]^-$，在二级质谱图中产生 *m/z* 267.065 2 $[M-H-C_6H_{10}O_5]^-$ 和 *m/z* 252.043 1 $[M-H-C_6H_{10}O_5-CH_3]^-$ 的碎片离子，通过质谱信息与文献[14]及对照品对比，推断化合物为芒柄花苷，可能的质谱裂解途径如图 2b。

2.3.2　苯丙素类化合物质谱解析

苯丙素类化合物是一类以 C_6-C_3（1 个苯环与 3 个直链碳原子）为基本结构片段的天然产物，其典型代表包括苯丙酸、香豆素和木质素等。在质谱分

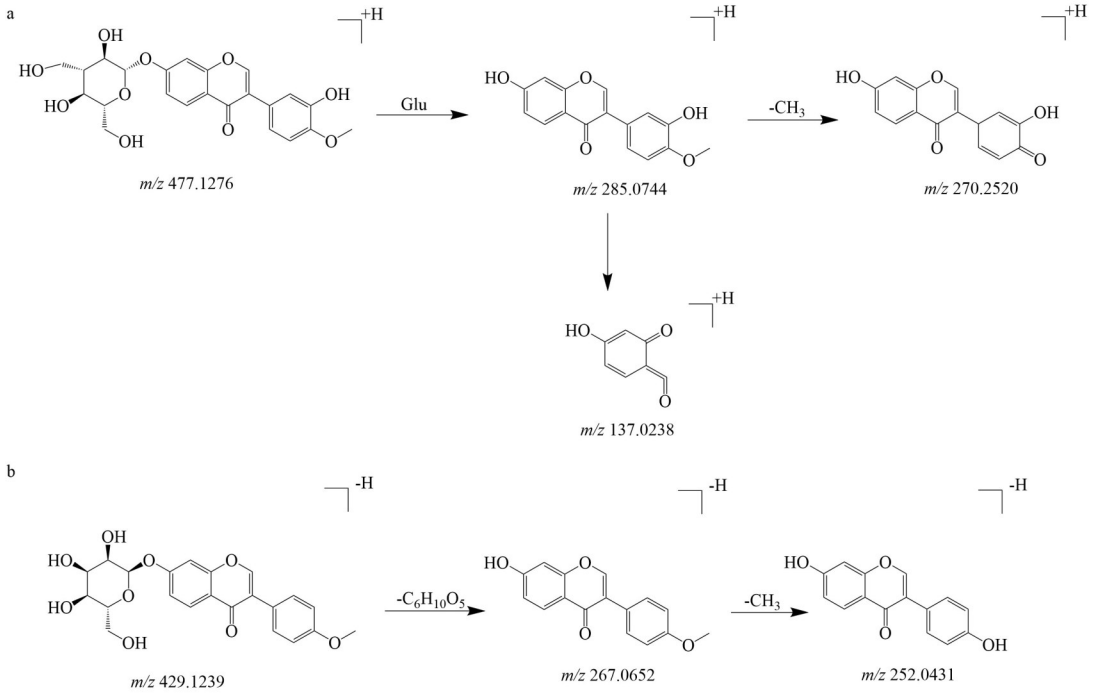


图 2 (a)毛蕊异黄酮葡萄糖苷和(b)芒柄花苷的质谱裂解途径

Fig. 2 MS cleavage pathways of (a) (a) calycosin-7-*O*-*β*-D-glucosidec and (b) ononin

析中,该类化合物常表现出易于丢失 CO、CO_2及 H_2O 等小分子中性碎片的特点。以表 1 中化合物 18 为例,其在正离子模式下的准分子离子为 *m/z* 307.116 3[M+H]$^+$,推断其分子式为 $C_{16}H_{18}O_6$,失去 H_2O 后产生 *m/z* 289.107 2 的[M+H−H_2O]$^+$,再失去两分子 CH_3 产生 *m/z* 259.059 7 的[M+H−H_2O−2CH_3]$^+$;*m/z* 235.045 1 的[M+H−C_4H_8O]$^+$是由 *m/z* 307.116 3 的[M+H]$^+$的呋喃环裂解产生,*m/z* 235.045 1 的[M+H−C_4H_8O]$^+$失去 CO 产生 *m/z* 207.065 7 的[M+H−C_4H_8O−CO]$^+$,裂解规律与对照品基本一致,参考文献[15]推测其为升麻素,其可能的裂解途径见图3a。表 1 中化合物 6 在负离子模式下检测到准分子离子峰 *m/z* 353.087 7[M−H]$^-$,推测其分子式为 $C_{16}H_{18}O_9$。二级质谱分析显示,该离子可通过两种途径发生裂解:其一为丢失 $C_7H_{10}O_5$,产生 *m/z* 179.034 7 的[M−H−$C_7H_{10}O_5$]$^-$,再丢失 CO_2,产生 *m/z* 135.045 1 的[M−H−$C_7H_{10}O_5$−CO_2]$^-$;其二为脱去 $C_9H_6O_3$,生成 *m/z* 191.056 1 的[M−H−$C_9H_6O_3$]$^-$,通过质谱信息与文献[16]及对照品对比,推断该化合物为新绿原酸,其可能的质谱裂解规律见图 3b。

2.3.3 有机酸类化合物质谱解析

有机酸类成分易发生脱羧、脱甲基等反应。以表 1 中化合物 16 为例,其在负离子模式下的准分子离子为 *m/z* 193.050 6[M−H]$^-$,推断分子式为 $C_{10}H_{10}O_4$,丢失一分子甲基产生碎片 *m/z* 178.028 4 的[M−H−CH_3]$^-$,丢失 CO_2 产生 *m/z* 149.064 4 的[M−H−CO_2]$^-$,在此基础上继续丢失 CH_3 产生 *m/z* 134.029 7 的[M−H−CO_2−CH_3]$^-$。结合文献[17]及对照品对比,推断该化合物为阿魏酸,可能的裂解途径见图4a。表 1 中化合物 23 在负离子模式下的准分子离子峰为 *m/z* 187.096 9[M−H]$^-$,其二级质谱呈现连续裂解过程:先失去 H_2O 得到 *m/z* 169.086 1 的[M−H−H_2O]$^-$,或脱去 CO_2 得到 *m/z* 143. 108 1 的[M−H−CO_2]$^-$,该离子进一步失去 H_2O 得到 *m/z* 125. 096 5 的[M−H−CO_2−H_2O]$^-$,随后脱去乙基单元 C_2H_4 获得 *m/z* 97.065 6 的[M−H−CO_2−H_2O−C_2H_4]$^-$,并继续丢失另一分子 C_2H_4,最终产生 *m/z* 69.035 1 的[M−H−CO_2−H_2O−2C_2H_4]$^-$,结合裂解规律及文献[18]报道,推断其为壬二酸,可能的质谱裂解行为见图 4b。

2.3.4 萜类化合物质谱解析

作为一类广泛存在的重要天然产物,萜类化合物具有以异戊二烯(C_5)为通用结构单元的聚合体结构。其在质谱中响应良好,常见的裂解途径为脱掉连接的糖苷基、侧链部分易断裂-C_xH_y 或 C_xH_yO 小基团以及-OH 等[19]。表 1 中化合物 41 在负离子模式下的准分子离子峰为 *m/z* 871.469 7[M+

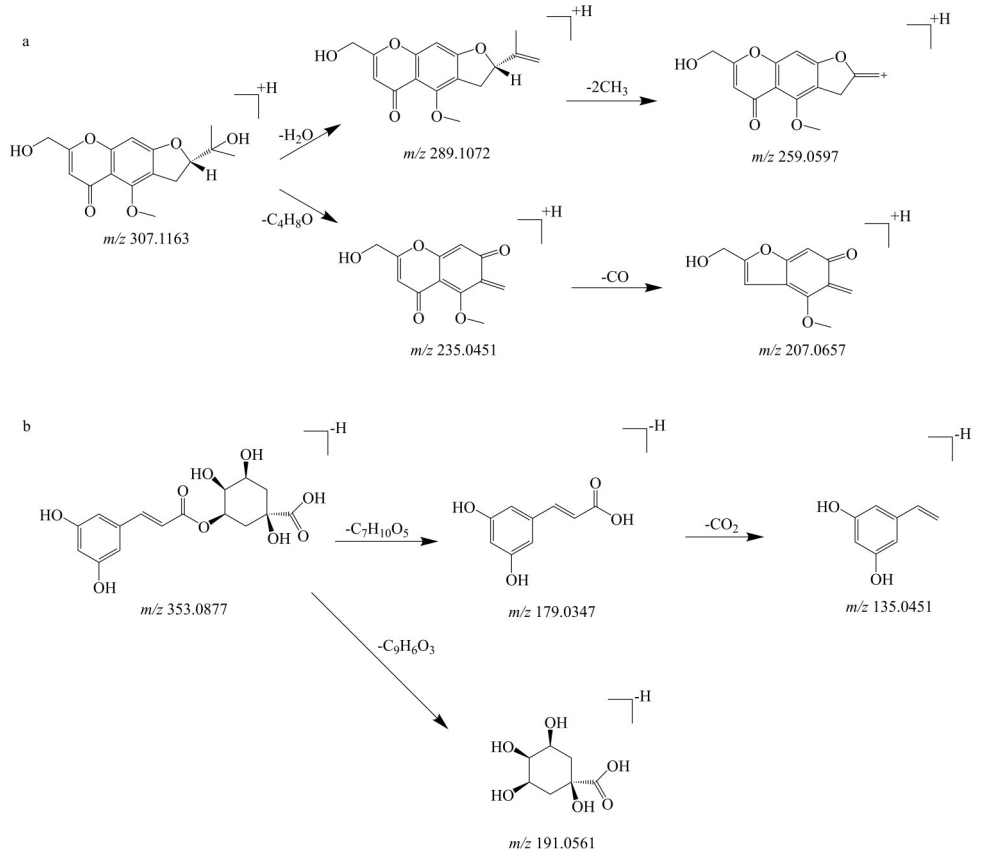


图 3　(a)升麻素和(b)新绿原酸的质谱裂解途径

Fig. 3　MS cleavage pathways of (a) cimifugin and (b) neochlorogenic acid

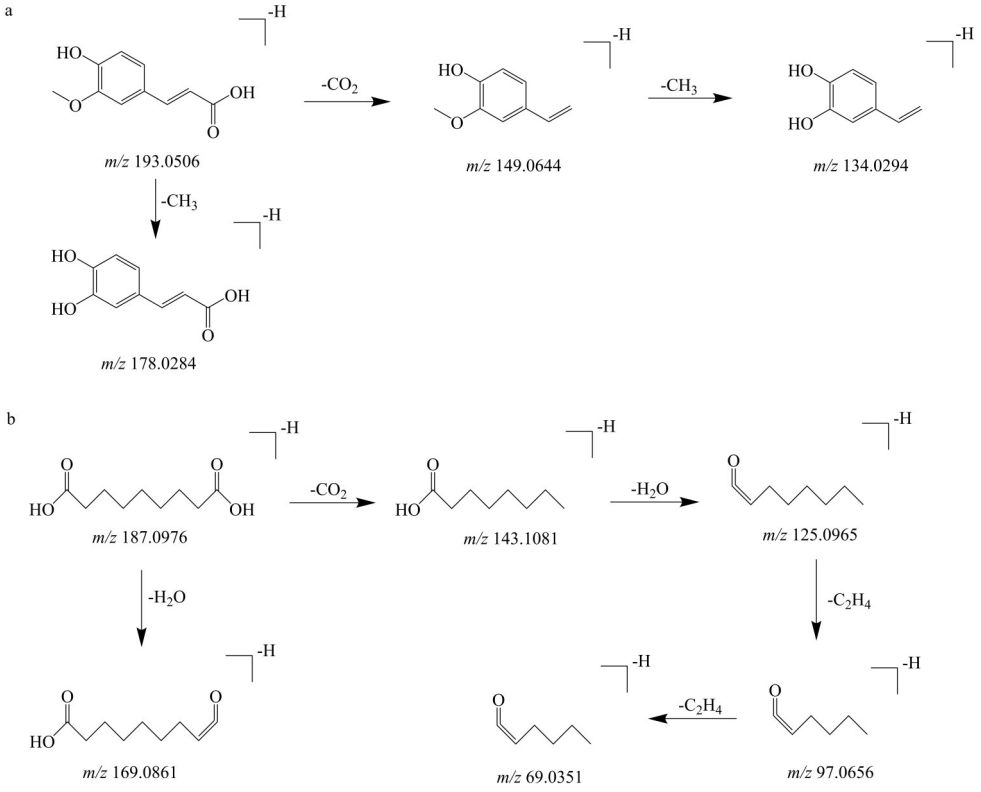


图 4　(a)阿魏酸和(b)壬二酸的质谱裂解途径

Fig. 4　MS cleavage pathways of (a) ferulic acid and (b) azelaic acid

HCOOH]⁻，推断分子式为 $C_{43}H_{70}O_{15}$。在二级质谱中，准分子离子丢失一分子甲酸，产生 *m/z* 825.468 1 的[M−H]⁻，该碎片脱去-$C_2H_4O_2$ 产生 *m/z* 765.447 0 的[M−H−$C_2H_4O_2$]⁻，通过质谱信息与文献[20]及对照品对比，推断该化合物为黄芪皂苷Ⅱ，可能的裂解途径见图5a，表 1 中化合物 43 在正离子模式下的准分子离子峰为 *m/z* 249.148 5[M+H]⁺，推断分子式为 $C_{15}H_{20}O_3$，在二级质谱中，准分子离子丢失 H_2O 形成 *m/z* 231.138 6 的[M+H−H_2O]⁺，再失去 CO 形成 *m/z* 203.144 1 的[M+H−H_2O−CO]⁺，经文献[21]及对照品对比，推断该化合物为白术内酯Ⅲ，可能的裂解途径见图 5b。

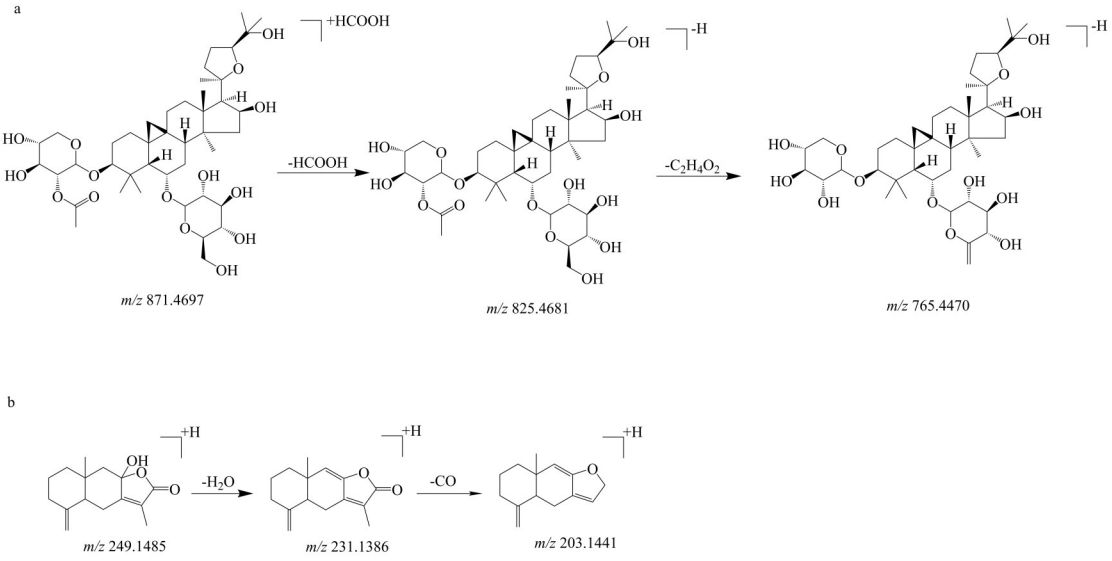


图5 (a)黄芪皂苷Ⅱ和(b)白术内酯Ⅲ的质谱裂解途径

Fig. 5 MS cleavage pathways of (a) astragalus saponin Ⅱ and (b) atractylenolide Ⅲ

3 结论

本研究通过 UHPLC-Q-TOF MS 技术系统分析了玉屏风颗粒的化学成分与在免疫缺陷模型大鼠体内的入血成分，共鉴定出 52 个化合物，包括黄酮类、苯丙素类、有机酸类、萜类等多种结构类型，并进一步确认了 11 个原型入血成分。虽未能鉴定出明确的代谢产物，但本研究将研究重点聚焦于原型成分，与原型成分相比，代谢产物存在结构未知多样、浓度极低、化学性质差异大等特点，同时，代谢物在样本采集、处理、储存过程中更易降解或变化[22]。而原型成分结构已知，稳定性高，质谱相应稳定[23]。该研究在较全面化学表征的基础上，结合体内外分析，明确了玉屏风颗粒中多种活性成分的体内暴露情况，为其药效物质基础研究及质量控制奠定重要依据。

参考文献：

[1] Chen C, Wang Q, Su Z Q, et al. Chinese Journal of Experimental Medical Formulae, 2018, 24(5): 182
陈聪, 王琦, 苏泽琦, 等. 中国实验方剂学杂志, 2018, 24(5): 182

[2] Fu Y, Yue N, Wang G F, et al. Chinese Traditional Patent Medicine, 2024, 46(9): 3184
付艳, 岳宁, 王桂芳, 等. 中成药, 2024, 46(9): 3184

[3] Li H L, Wang L, Zhong Z J, et al. Chinese Journal of Traditional Chinese Medicine, 2021, 39(12): 205
李焕龙, 王灵, 钟志娟, 等. 中华中医药学刊, 2021, 39(12): 205

[4] Chinese Pharmacopoeia Commission. Pharmacopoeia of the People´s Republic of China, Part 1. Beijing: China Medicine Science Press, 2025: 783
国家药典委员会. 中华人民共和国药典一部. 北京: 中国医药科技出版社, 2025: 783

[5] Wang X J. Modernization of Traditional Chinese Medicine and Materia Medica-World Science and Technology, 2010, 12(4): 632
王喜军. 世界科学技术-中药现代化, 2010, 12(4): 632

[6] Tu C, He Q, Zhou Y Y, et al. Acta Pharmaceutica Sinica, 2018, 53(7): 1139
涂灿, 何琴, 周元园, 等, 药学学报, 2018, 53(7): 1139

[7] Sang F H, Li P H, Chen Q, et al. China Journal of Traditional Chinese Medicine and Pharmacy, 2019, 34(12): 5650
尚芳红, 李攀红, 陈乾, 等. 中华中医药杂志, 2019, 34(12): 5650

[8] Zhong J F, Fang R J. Chinese Journal of Immunology, 2016, 32(10): 1541
钟金凤, 方热军. 中国免疫学杂志, 2016, 32(10): 1541

[9] Sun S K, Song T, Lu Y. Immunological Journal, 2018, 34(10): 863

孙守坤，宋涛，卢义. 免疫学杂志，2018，34(10)：863
[10] Shen D D，Xie X J，Zhu Z J，et al. PLoS One，2014，9(9)：e107279
[11] Li M Y，Gao Y J，Yue X Y，et al. J Pharm Biomed Anal，2021，194：113660
[12] Wang S S，Xu H Y，Ma Y，et al. J Pharm Biomed Anal，2015，111：104
[13] Liu X，Zhang Y Q，Shang G C，et al. Journal of Shandong University of Traditional Chinese Medicine，2025，49(4)：513
刘欣，张永清，商桂春，等. 山东中医药大学学报，2025，49(4)：513
[14] Xie C H，Jia D Z，Xu A L，et al. Journal of Instrumental Analysis，2024，43(4)：511
谢灿辉，贾德政，胥爱丽，等. 分析测试学报，2024，43(4)：511
[15] Huang F M，Song Y W，Zuo T W，et al. Journal of Nanjing University of Traditional Chinese Medicine，2025(5)：637
黄福满，宋亚军，左童文，等. 南京中医药大学学报，2025(5)：637
[16] Wu X L，Yang Y，Liu J，et al. Modern Chinese Medicine，2025，27(11)：2152
吴薛丽，杨雅，刘军，等. 中国现代中药，2025，27(11)：2152
[17] Gong J H，Xiang J，Zhou J D，et al. Journal of Instrumental Analysis，2025，44(5)：822
拱佳慧，向杰，邹建东，等. 分析测试学报，2025，44(5)：822
[18] Xiao G L，Jiang J Y，Cheng Q Y，et al. Journal of Instrumental Analysis，2023，42(11)：1424
肖观林，江洁怡，程青云，等. 分析测试学报，2023，42(11)：1424
[19] Zhang Q，Li R S，Huang S H，et al. Shanghai Journal of Traditional Chinese Medicine，2023，57(9)：70
张清，李荣胜，黄思红，等. 上海中医药杂志，2023，57(9)：70
[20] Shen Q，Li R S，Duan L X，et al. Chinese Journal of Hospital Pharmacy，2024，44(19)：2250
沈沁，李荣胜，段连香，等. 中国医院药学杂志，2024，44(19)：2250
[21] Liu Z，Zeng L S，Su S N，et al. Chinese Journal of Pharmaceutical Analysis，2025，45(5)：754
刘泽，郑历史，舒胜男，等. 药物分析杂志，2025，45(5)：754
[22] Li S，Looby N，Chandran V，et al. Metabolites，2024，14(4)：200
[23] Ding T T，Yang L F，Zhao L S，et al. Zhejiang Journal of Traditional Chinese Medicine，2025，60(8)：743
丁亭亭，杨林峰，赵丽沙，等. 浙江中医杂志，2025，60(8)：743